

สารบัญ

DEN43	สมรรถนะของเตาแก๊สชีวมวลแบบอากาศไหลตามขวางที่ใช้ก่อไม้เป็นเชื้อเพลิง วรรณ แจ้งสว่าง มหาวิทยาลัยราชภัฏพระนคร	หน้า 972
-------	--	-------------

DEN44	การศึกษาผลของการปรับค่าองศาการฉีดเชื้อเพลิง DME ผสมปาล์มไบโอดีเซล ต่อสมรรถนะเครื่องยนต์ดีเซลชนิดห้องเผาไหม้ล่วงหน้า ณัติ วัฒนวิเชียร สมิตร กิพย์สิงห์ อุปางกรรณ์มหาวิทยาลัย	977
-------	--	-----

Session	Renewable Energy 13
ประชาน	ผู้ช่วยศาสตราจารย์ ดร.ประชุม อุดมเลขงค์ มหาวิทยาลัยเทคโนโลยีราชมงคลสุวรรณภูมิ
เวลา	10:30-12:00 วันพุธที่ 5 พฤษภาคม 2554
ห้องบรรยาย	Orchid D

DEN45	การศึกษาแนวทางการตัดแปลงเครื่องยนต์ดีเซลขนาดเล็กให้เป็นเครื่องยนต์ HCCI สำหรับใช้เชื้อเพลิง DME ณัติ วัฒนวิเชียร ปัญจพล นาลละวงศ์ อุปางกรรณ์มหาวิทยาลัย	984
DEN46	การศึกษาศักยภาพการนำไปของวัสดุเงินสำหรับเชลล์เชื้อเพลิงออกไซด์ของแข็ง แบบแผ่น อาณัติ พิจิตร ¹ นิตินัย ปัญญานุศยกุล ¹ กฤตญา บุญศิริ ¹ สมิตร จารสโรมนกุล ² จากร วัตร เจริญสุข ³ มหาวิทยาลัยเทคโนโลยีมหาสารคาม ¹ ศูนย์เทคโนโลยีโลหะและวัสดุแห่งชาติ อุทยานวิทยาศาสตร์ประเทศไทย ² สถาบันเทคโนโลยีพระจอมเกล้าเจ้าคุณทหารลาดกระบัง เขตลาตกระบาล ³	994
DEN47	การพยากรณ์กำลังไฟฟ้าของระบบเชลล์แสงอาทิตย์แบบเชื่อมต่อสายสั่งในประเทศไทยโดยไม่ใช้ตัวรับสีดวงอาทิตย์ ชานนท์ ชูพงษ์ บุญยัง ปลั่งกลาง มหาวิทยาลัยเทคโนโลยีราชมงคลธัญบุรี	999
DEN48	การศึกษาสมรรถนะเครื่องยนต์ดีเซลขนาดเล็กเมื่อใช้น้ำมันจากกระบวนการ ไฟฟ้าและพลังงานเชื้อเพลิงเปรียบเทียบกับน้ำมันดีเซล รณศักดิ์ วิวัฒน์ปรีchanน์ อุดมย์ จารยาเลิศอุดมย์ มหาวิทยาลัยอุบลราชธานี	1003

สารบัญ

		หน้า
DEN49	การศึกษาอัตราสินเปลืองเชื้อเพลิงของรถยนต์ดัดแปลงเพื่อใช้ห้ามันแก๊สโซชอล์ E85 บริษัทฯ คงสูบนันด์ ¹ รักษิต วิจิพัฒนพงศ์ ² กรองแก้ว เลาหลีданนท์ ¹ มหาวิทยาลัยเทคโนโลยีราชมงคลธัญบุรี ¹ ศูนย์เทคโนโลยีอิเล็กทรอนิกส์และคอมพิวเตอร์แห่งชาติ ²	1008
DEN50	ประสบการณ์การใช้เชื้อเพลิงแก๊สโซชอล์ E20 ในเครื่องยนต์ระบบหัวฉีด ที่ไม่ได้รับรอง รักษิต วิจิพัฒนพงศ์ มนเทียร แก่นสน ¹ ศูนย์เทคโนโลยีอิเล็กทรอนิกส์และคอมพิวเตอร์แห่งชาติ ²	1013
DEN51	การศึกษาความเหมาะสมในการใช้งานของแพลงค์ตอนน้ำร้อนแบบแผ่นเรียบและ แบบหลอดแก้วสูญญากาศ สริยะ สุกรินทร์ พงศ์พิชญ์ ต้วนภูษา . สถาพร ทองวิศว์ มหาวิทยาลัยเทคโนโลยีราชมงคลธัญบุรี ¹	1017

การศึกษาความเหมาะสมในการใช้งานของแผงผลิตน้ำร้อนแบบแผ่นเรียบและแบบหลอดแก้วสูญญากาศ

The feasibility study on the use of Flat Plate Solar Collector and Evacuated Tube Solar Collector

สุริยะ สุกarinทร์¹, พงศ์พิชญ์ ตวนภูษา², สาทรพร ทองวิค¹

Suriya Sukarin¹, Pongpith Tuenpusa², Sathaporn Thongwik¹

¹ภาควิชาวิศวกรรมเครื่องกล คณะวิศวกรรมศาสตร์ มหาวิทยาลัยเทคโนโลยีราชมงคลธัญบุรี ถนนรังสิต-นครนายก ตำบลคลองหอก อำเภอธัญบุรี จังหวัดปทุมธานี 12110 โทร 0-2549-3571 โทรสาร 0-2549-3422

²ภาควิชาวิศวกรรมเกษตร คณะวิศวกรรมศาสตร์ มหาวิทยาลัยเทคโนโลยีราชมงคลธัญบุรี ถนนรังสิต-นครนายก ตำบลคลองหอก อำเภอธัญบุรี จังหวัดปทุมธานี 12110 โทร 0-2549-3497 โทรสาร 0-2549-3432

บทคัดย่อ

บทความฉบับนี้ได้เปรียบเทียบความเหมาะสมของการใช้งานแผงผลิตน้ำร้อนพลังงานแสงอาทิตย์ชนิดแผ่นเรียบ และชนิดหลอดแก้วสูญญากาศ ซึ่งมีพื้นที่รับแสงที่ 1.9 m^2 เท่ากัน โดยนำเสนอแบบจำลองทางคณิตศาสตร์มาจำลองอัตราการไหลในช่วง -90% ถึง 100% ของอัตราการไหลทดสอบ ประกอบกับผลการวิเคราะห์ข้อมูลพลังงานแสงอาทิตย์ในกรุงเทพมหานคร และจังหวัดเชียงใหม่ จาก Software Trnsys simulation พบร้า ตัวอย่างแผงผลิตน้ำร้อนชนิดแผ่นเรียบนั้นมีประสิทธิภาพสูงกว่าตัวอย่างแผงผลิตน้ำร้อนชนิดหลอดแก้วสูญญากาศ ในช่วงผลลัพธ์ของเทอม $(T_f - T_a) / G_t$ ไม่เกิน 0.04 ซึ่งหลังจากนั้นประสิทธิภาพของแผงจะลดลงต่ำกว่าแบบหลอดแก้วสูญญากาศ และเมื่อพิจารณาถึงการเปลี่ยนแปลงประสิทธิภาพลดลงช่วงผลลัพธ์ของเทอม $(T_f - T_a) / G_t$ ปรากฏว่าแผงผลิตน้ำร้อนแบบหลอดแก้วสูญญากาศนั้นมีการเปลี่ยนแปลงในช่วงที่แคมภ์กัวแผงผลิตน้ำร้อนแบบแผ่นเรียบ

คำสำคัญ: แผงผลิตน้ำร้อนพลังงานแสงอาทิตย์, พลังงานทดแทน

Abstract

This paper compares the right use of Flat Plate Solar Collector and Evacuated Tube Solar Collector, each has a 1.9 m^2 aperture area equal. The experiment will use mathematic model to simulate flow in the -90% to 100% of the flow test results combined with analysis of solar radiation in Bangkok And Chiang Mai from Software Trnsys simulation. Results showed that the examples of flat plate solar collector perform better than hot water type vacuum tube in terms of $(T_f - T_a) / G_t$ less than 0.04. After the performance, this then will be lower than the vacuum tube. Changes during the performance results of the $(T_f - T_a) / G_t$. The vacuum tube have changed in a narrow range over flat panels solar collector.

Keywords: solar collector, renewal energy

1. ที่มาของงานวิจัย

การผลิตน้ำร้อนด้วยพลังงานแสงอาทิตย์เป็นการนำพลังงานแสงอาทิตย์ใช้โดยตรง โดยการใช้อุปกรณ์ที่ได้รับการพัฒนามาเพื่อทำหน้าที่ถ่ายเทพลังงานความร้อนจากแสงอาทิตย์ไปสู่น้ำ ซึ่งอุปกรณ์ดังกล่าวเรียกว่าแผงผลิตน้ำร้อนพลังงานแสงอาทิตย์ ปัจจุบันพบว่าการใช้งานแผงรับแสงอาทิตย์เพื่อการผลิตน้ำร้อนนั้นมีความนิยมเพิ่มขึ้นมาก (กรมพัฒนาพลังงานทดแทนและอนุรักษ์พลังงาน, 2552) โดยมีผู้ประกอบการหลายรายที่ผลิตและนำเข้าอุปกรณ์ดังกล่าวมาจำหน่ายภายในประเทศ ซึ่งแผงผลิตน้ำร้อนพลังงานแสงอาทิตย์ที่ผู้ประกอบการนิยมผลิตและนำเข้ามาราบานนั้นมีอยู่ 2 ประเภท คือ

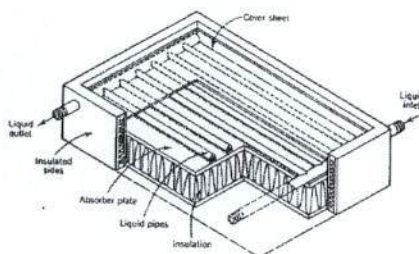
1. แผงผลิตน้ำร้อนแบบแผ่นเรียบ

2. แผงผลิตน้ำร้อนแบบหลอดแก้วสูญญากาศ

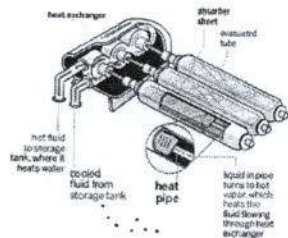
ซึ่งแผงผลิตน้ำร้อนทั้ง 2 แบบนั้นมีความแตกต่างในหลายๆ ด้าน เช่น ราคา รูปลักษณ์ภายนอก ประสิทธิภาพ รูปแบบการติดตั้ง เป็นด้านการที่ผู้ออกแบบระบบจะเลือกใช้งานแผงผลิตน้ำร้อนชนิดใดชนิดหนึ่งนั้นจะต้องคำนึงถึงคุณสมบัติในหลายๆ ด้านของแผงผลิตน้ำร้อนแต่ละชนิดก่อน ดังนั้นบทความฉบับนี้จะกล่าวถึงการเปรียบเทียบคุณสมบัติเชิงประสิทธิภาพของตัวอย่างแผงผลิตน้ำร้อนทั้ง 2 ชนิด ประกอบด้วย แผงผลิตน้ำร้อนแบบแผ่นเรียบ(Glazed Flat-Plate) รุ่น AE-21 ผลิตโดยบริษัท Alternate Energy Technologies และแผงผลิตน้ำร้อนชนิดหลอดแก้วสูญญากาศ (Tubular) รุ่น SEIDO 1-8 ผลิตโดย Beijing Sunda Solar Energy Technology Co Ltd โดยแผงผลิตน้ำร้อนทั้ง 2 แบบมีพื้นที่รับแสงที่ 1.9 m^2 ซึ่งการทดสอบในบทความฉบับนี้จะทดสอบโดยการใช้แบบจำลองทางคณิตศาสตร์ ซึ่งผลลัพธ์ที่ได้จะนำมาวิเคราะห์ความเหมาะสมในการเลือกใช้งานแผงผลิตน้ำร้อนพลังงานแสงอาทิตย์ในสถานที่ติดตั้งโดยอาศัยข้อมูลความเข้มแสงอาทิตย์ของสถานที่นั้นๆ ซึ่งผู้อ่านได้เลือกใช้ข้อมูลของจังหวัด กรุงเทพมหานคร และจังหวัดเชียงใหม่

ดังนั้นบทความฉบับนี้จะเป็นแนวทางให้วิศวกรหรือผู้ออกแบบระบบผลิตน้ำร้อนพลังงานแสงอาทิตย์สามารถเลือกใช้แผงผลิตน้ำร้อน

ผลลัพธ์ทางการค้าที่ได้รับมาจากการใช้งานและคุ้มค่าในการลงทุน



รูปที่ 1 แผนผังลิตเตอร์รัมแบบแผ่นเรียน



รูปที่ 2 แผนผลิตน้ำร้อนแบบหลอดแก้วสมัยภาค

2. การวิเคราะห์ประสิทธิภาพด้วยแนวจำลองคณิตศาสตร์

ในการพิจารณาประสิทธิภาพของแผงผลิตน้ำร้อนจากแสงอาทิตย์ด้วยเปลี่ยนจากการพิจารณาหาหลายตัวแปร เช่น แผงผลิตน้ำร้อนนั้นจากแสงอาทิตย์นั้นดูดกลืนพลังงานได้อย่างไร มีการสูญเสียความร้อนในรูปแบบใด เป็นต้น ซึ่งการพิจารณานั้นจะเป็นไปตามมาตรฐาน ASHRAE 93-77 โดยการหาประสิทธิภาพพัชร์ชัยเน้นจะสามารถหาได้จากสมการที่ 1

$$\eta_c = \frac{Q_u}{A_C G_T} = F_R (\tau \alpha)_e - F_R U_L \frac{(T_i - T_a)}{G_r} \quad (1)$$

ในการพิจารณาประสิทธิภาพตามมาตรฐาน ASHRAE 93-77 ในรูปแบบของการสร้างกราฟ ความสัมพันธ์ระหว่างประสิทธิภาพของแผงรับแสงอาทิตย์ (η_C) กับ ผลลัพธ์ของของเทอม ($T_f - T_a$)/ V_G โดยกราฟความสัมพันธ์นี้จะเป็นกราฟเส้นตรง โดยถ้าความชันซึ่งมีค่าติดลบนั้นคือค่า $F_R U_L$ และจุดดั้งของกราฟ ในแนวแกน y นั้นคือ $F_R(\tau\alpha)$ ซึ่งสมการเส้นตรงที่ได้จากการพิจารณางานเป็นไปตามสมการ

$$y = (-F_R U_L)(x) + F_R(\tau\alpha)_e \quad (2)$$

ໄຊຍ້

y คือ ประสิทธิภาพของแผนรับแสงอาทิตย์ (η_C)

$$x \stackrel{d}{=} \frac{(T_t - T_a)}{G_T}$$

ภายหลังการทดสอบแห่งผลิต้นรั้อันพลังงานแสงอาทิตย์
จากสถาบันทดสอบแล้วนั้น แห่งดังกล่าวจะถูกนำไปใช้งานจริง ซึ่งการ
ใช้งานนั้นผู้ใช้งานอาจมีการปรับตั้งรายการไฟให้มีเป็นไปตามผลการ
ทดสอบของผู้ผลิตกำหนดนั้น ซึ่งจะส่งผลให้เกิดการเปลี่ยนแปลงของค่า
 $F_R U_L$ และ $F_R(\tau\alpha)$ ซึ่งการเปลี่ยนแปลงดังกล่าวจะเป็นไปตามสมการ
ที่ 3 และ 4

$$r = \frac{F_R U_L|_{test}}{F_R U_L|_{use}} = \frac{F_R(\tau\alpha)_n|_{use}}{F_R(\tau\alpha)_n|_{test}} \quad (3)$$

$$r = \frac{\frac{mC_p}{A_c F' U_L} \left[1 - \exp\left(\frac{-A_c F' U_L}{mC_p}\right) \right]_{Use}}{\frac{mC_p}{A_c F' U_L} \left[1 - \exp\left(\frac{-A_c F' U_L}{mC_p}\right) \right]_{Test}} \quad (4)$$

โดยค่า $F'U$, หาได้จากสมการที่ 5

$$F'U_L = -\frac{mC_p}{A_C} \ln \left(1 - \frac{F_R U_L A_c}{mC_p} \right) \quad (5)$$

3. การทดสอบ

การทดสอบในบทความฉบับนี้ได้นำตัวอย่างແຜ່ພລິດນ້ຳຮອນຈາກແສງອາທິດຍີ 2 ຂົນດີ ທີ່ມີຄວາມສັບປັດຕາມຕາງໆທີ່ 1

ตารางที่ 1 คุณสมบัติของดาวอย่างแหงผลิตน้ำร้อนพลังงานแสงอาทิตย์

Model	Area (m ²)	$F_R U_L$	$F_R(\tau\alpha)$	Test flow rate (ml/s.m ²)
SEIDO 1-8	1.997	1.697	0.529	18
AE-21	1.931	4.91	0.706	20.1

ที่มา: SRCC Certification No. 2004001A, 2002001A

จากข้อมูลในตารางที่ 1 นั้นจะถูกนำมาใช่องค์การเปลี่ยนแปลงของค่า $F_R U_L$ และ $F_R(\tau\alpha)$ อันเนื่องมาจากการเปลี่ยนอัตราการไหลของน้ำในแมง โดยการเปลี่ยนแปลงดังกล่าวจะอยู่ในช่วง -90% ถึง +100% ของอัตราการไหลที่ทำการทดสอบอย่างฯ โดยผลลัพธ์ที่ได้นั้นจะถูกนำมาสร้างกราฟเพื่อทำการวิเคราะห์ประสิทธิภาพตามมาตรฐาน ASHRAE 93-77 เมื่อทราบถึงประสิทธิภาพสูสุดของแมงฯ และค่าบ่งชี้ถึงการสูญเสียความร้อนรวมของแมงรับแสงอาทิตย์แล้วนั้น ข้อมูลดังกล่าวจะถูกนำมาเปรียบเทียบในช่วงผลลัพธ์ของเทอม ($T_i - T_a$)/ G_i ของกราฟมาตรฐาน ASHRAE 93-77 จากนั้นนำข้อมูล มาเปรียบเทียบผลลัพธ์ในเทอม ($T_i - T_a$)/ G_i ของตัวอย่างสถานที่ดีดังโดยกำหนดให้ค่าในเทอมของ $T_i - T_a$ นั้นเท่ากับ 5°C ซึ่งในบทความ

ฉบับนี้ได้ใช้ข้อมูลเข้มแสงอาทิตย์ของ กรุงเทพมหานคร และจังหวัด เชียงใหม่จาก Software Tmsys simulation เพื่อวิเคราะห์ เพื่อวิเคราะห์ ช่วงที่เหมาะสมในการทำงานของแผงฯ

4. สรุปและวิจารณ์ผล

4.1 พิจารณาประสิทธิภาพสูงสุด ($F_R(\alpha)$)

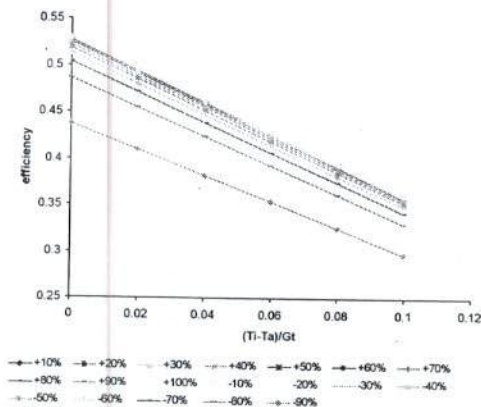
จากแบบจำลองทางคณิตศาสตร์พบว่าที่อัตราการให้แสง $+10\%$ ในปัจจุบัน $+100\%$ ประสิทธิภาพสูงสุดของแผงรับแสงอาทิตย์แบบแผ่นเรียบนั้นจะอยู่ในช่วง $0.69-0.706$ ซึ่งการเปลี่ยนแปลงดังกล่าว เปรียบเทียบกับแผงรับแสงอาทิตย์ชนิดหลอดแก้วที่อยู่ในช่วง $0.524-0.529$ ในทางกลับกัน ที่อัตราการให้แสง -10% ในปัจจุบัน -90% พบว่า ประสิทธิภาพของแผงรับแสงอาทิตย์ชนิดแผ่นเรียบนั้นจะอยู่ในช่วง $0.45-0.7$ เมื่อเทียบกับชนิดหลอดแก้วสูญญากาศซึ่งมีช่วงการเปลี่ยนแปลงอยู่ในช่วง $0.529-0.437$

เมื่อพิจารณาที่อัตราการให้แสง $+10\%$ ในปัจจุบัน $+100\%$ พบว่าแผงรับแสงอาทิตย์ชนิดแผ่นเรียบมีค่าอยู่ในช่วง $4.8-4.91$ เมื่อเทียบกับแผงรับแสงอาทิตย์ชนิดหลอดแก้วสูญญากาศ ซึ่งอยู่ในช่วง $1.68-1.7$ กับกันที่อัตราการให้แสง -10% ถึง -90% การสูญเสียทางความร้อนของแผงรับแสงอาทิตย์แบบแผ่นเรียบอยู่ในช่วง $3.18-4.91$ และ $1.07-1.4$ ในแผงรับแสงอาทิตย์ชนิดหลอดแก้วสูญญากาศ

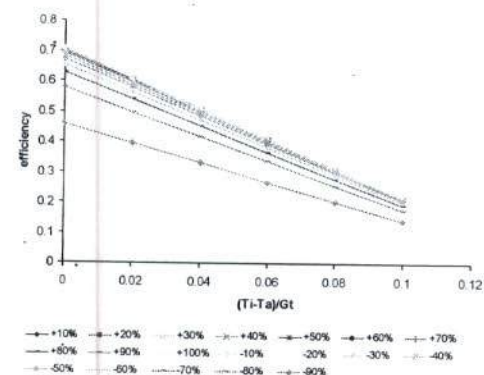
ตารางที่ 2 ข้อเปรียบเทียบของแผงผลิตน้ำร้อนทั้ง 2 ชนิด

ข้อต้องดู	
แบบแผ่นเรียบ	แบบหลอดแก้วสูญญากาศ
-ราคาถูกกว่าแบบหลอดสูญญากาศ (ราคารวม ค่าติดตั้งต่อตัวร่างเมตรประมาณ $8,000 - 10,000$ บาท กรณีระบบใหญ่)	-ประสิทธิภาพสูงกว่าจะมีความแตกต่างระหว่างอุณหภูมิตัวตู้รังสีและอากาศแวดล้อมสูงมาก
-การติดตั้งทำได้หลายรูปแบบ เช่น ติดตั้งบนหลังคา ติดตั้งเป็นส่วนหนึ่งของห้องห้องค้า เป็นต้น	-ประสิทธิภาพสูงแม้ความเข้มรังสีอาทิตย์ต่ำ
-ราคาก่อตัวต่อรวมของการทำงานร้อนสูง	-เหมาะสมกับการใช้งานอุณหภูมิสูง เช่น ก่อตัวต่อในตู้รังสี
-การประกอบ ติดตั้งทำได้ง่าย	-ทนต่อการใช้งานอุณหภูมิสูง เช่น ก่อตัวต่อในตู้รังสี
ข้อด้อย	
แบบแผ่นเรียบ	แบบหลอดแก้วสูญญากาศ
-ประสิทธิภาพต่ำกว่าแบบหลอดสูญญากาศ (เนื่องจากมีค่าการสูญเสียความร้อนรวมที่สูงกว่า)	-ราคากลางๆ ของแผ่นเรียบ (ราคารวมค่าติดตั้งต่อตัวร่างเมตรประมาณ $10,000 - 12,000$ บาท กรณีระบบใหญ่)
-ระบบ support การติดตั้งต้องเป็นลักษณะพื้น รวมเรียง	-ไม่สามารถติดตั้งแบบแนวนอนได้ก่อตัวต่อเป็นแบบ heat pipe (ต้องมีมุมเอียงประมาณ 25°)
-ต้องการพื้นที่ที่ติดตั้งมากกว่าแบบหลอดสูญญากาศ	-ไม่สามารถติดตั้งแบบเป็นส่วนหนึ่งของหลังคาได้
-ไม่เหมาะสมกับการใช้งานอุณหภูมิสูง เช่น ก่อตัวต่อในตู้รังสี	

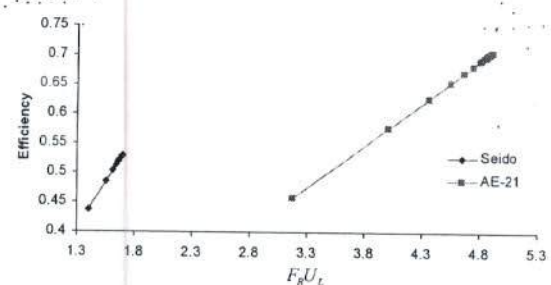
ที่มา: พัฒนาแสงอาทิตย์ผลิตน้ำร้อน, สำนักพัฒนาพัฒนาแสงอาทิตย์, กรมพัฒนาพลังงานทดแทนและอนุรักษ์พลังงาน



รูปที่ 3 ประสิทธิภาพของแผงผลิตน้ำร้อน รุ่น SEIDO 1-8



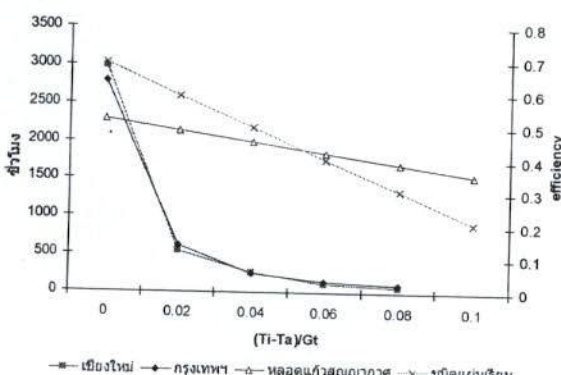
รูปที่ 4 ประสิทธิภาพของแผงผลิตน้ำร้อน รุ่น AE-21



รูปที่ 5 แสดงการเปรียบเทียบ η_c ต่อ F_{RUL}

4.2 พิจารณาประสิทธิภาพสูงสุดต่อการสูญเสียความร้อน

จากรูปที่ 5 เป็นการเปรียบเทียบประสิทธิภาพการทำงานสูงสุดของตัวอย่างแผงรับแสงอาทิตย์แบบแผ่นเรียบ ซึ่งจะเห็นได้ว่าประสิทธิภาพสูงสุดนั้นสูงกว่าแผงรับแสงอาทิตย์ชนิดหลอดแก้วสูญญากาศ แต่เมื่อพิจารณาการสูญเสียทางความร้อน พบว่าแผงรับแสงอาทิตย์แบบแผ่นเรียบนั้นมีค่าสูงกว่าแบบหลอดแก้วสูญญากาศด้วยเห็นกันดังนั้นจึงส่งผลให้น้ำร้อนที่ได้จากการผลิตของแผงรับแสงอาทิตย์แบบหลอดแก้วสูญญากาศมีอุณหภูมิสูงกว่าแผงรับแสงอาทิตย์แบบแผ่นเรียบ จากข้อสรุปดังกล่าวจึงสอดคล้องกับตารางที่ 2



รูปที่ 6 เปรียบเทียบความเหมาะสมเมื่อนำไปใช้งานในพื้นที่ตัวอย่าง

4.3 พิจารณาความเหมาะสมของการใช้งาน

- จากการเปรียบเทียบปริมาณแสงอาทิตย์ในกรุงเทพมหานคร และจังหวัดเชียงใหม่พบว่า หากกำหนดผลต่างอุณหภูมน้ำเข้ากับอุณหภูมิอากาศมีค่าเท่ากับ 5°C พบว่า ปริมาณของช่วงโน้มใน 1 ปีที่ผลต่างอุณหภูมน้ำเข้ากับอุณหภูมิอากาศต่อความเข้มของพลังงานแสงอาทิตย์ ซึ่งมีค่าในช่วง 0-0.02 ในกรุงเทพมหานครและจังหวัดเชียงใหม่นั้นมีถึง 72% และ 74% ตามลำดับ และช่วง 0.02-0.04 นั้นมีปริมาณ 16% และ 14% ตามลำดับดังนั้นหากพิจารณาตามภาพที่ พบว่า ในช่วงดังกล่าว แมงรับแสงอาทิตย์ชนิดแผ่นเรียบนั้นสามารถทำงานได้อย่างมีประสิทธิภาพสูงกว่าแมงรับแสงอาทิตย์ชนิดหลอดแก้วสูญญากาศ แต่หากพิจารณาประสิทธิภาพการทำงานลดลงด้วยน้ำพื้นที่แมงรับแสงอาทิตย์แบบหลอดแก้วสูญญากาศนั้นจะมีประสิทธิภาพการทำงานที่คงที่มากกว่าแมงรับแสงอาทิตย์แบบแผ่นเรียบ

4.4 สรุปผล

จากผู้ก่อตั้งสถาบันทดสอบห้องทดลองสามารถสรุปได้ว่าหากผู้ออกแบบระบบต้องการนำร้อนเพื่อการอุปโภคในชีวิตประจำวัน เช่น การชาระล้างร่างกาย หรือ ภาชนะ แมงผลิตน้ำร้อนพลังแบบแผ่นเรียบเป็นทางเลือกที่เหมาะสมกว่าการใช้แมงแบบหลอดแก้วสูญญากาศเนื่องจากราคาและลักษณะของภูมิอากาศซึ่งส่งผลให้ประสิทธิภาพการทำงานของแมงรับแสงอาทิตย์นั้นมีประสิทธิภาพสูง กลับกันหากผู้ออกแบบต้องการใช้น้ำร้อนเพื่อป้อนให้แก่กระบวนการผลิตในภาคอุตสาหกรรม ซึ่งมีความต้องการใช้งานที่สูงมากต้องการตัวเครื่องที่จะเลือกใช้แมงผลิตน้ำร้อนแบบหลอดแก้วสูญญากาศเนื่องจากการเปลี่ยนแปลงของประสิทธิภาพนั้นอยู่ในช่วงแคบจึงสามารถผลิตน้ำร้อนได้ดังที่มากกว่าแมงผลิตน้ำร้อนแบบแผ่นเรียบ

เอกสารอ้างอิง

- [1] SRCC Search Collector Record Detail. 2010. Certification ID 2004001A. Solar Rating and Certification Corporation, USA.
- [2] SRCC Search Collector Record Detail. 2010. Certification ID 2002001A. Solar Rating and Certification Corporation, USA.
- [3] กรมพัฒนาพลังงานทดแทนและอนุรักษ์พลังงาน, พลังงานแสงอาทิตย์ผลิตน้ำร้อน
- [4] สมชาย มณีวรรณ์, นรungศักดิ์ พลแก้ว และนิพนธ์ เกตุจ้อย, 2550, การเปรียบเทียบสมรรถนะของตัวรับรังสีอาทิตย์แบบแผ่นเรียบแบบไข้แมงปิดใส่ด้านบนและแผ่นคุณลักษณะรังสีอาทิตย์ที่แตกต่างกัน. การประชุมเชิงวิชาการเครือข่ายพลังงานแห่งประเทศไทยครั้งที่ 3
- [5] สมชาย กฤตพิวัฒน์, 2549, "พลังงานแสงอาทิตย์". พิชณ์โลกา. ภาควิชาฟิสิกส์คณะวิทยาศาสตร์ มหาวิทยาลัยนเรศวร
- [6] จงจิตร์ หริษฐ์ลภาน. กระบวนการพลังงานรังสีอาทิตย์ในรูปความร้อน. สำนักพิมพ์ดวงกมล
- [7] J. K. NAYAK and E. H. AMER, Experimental and Theoretical Evaluation of Dynamic Test Procedures for Solar Flat-Plate Collector, Solar Energy Vol. 69, No. 5, pp. 377–401, 2000
- [8] E. H. AMER, P. JADEJA, J. K. NAYAK and G. K. SHARMA, Comparison of Two Dynamic Test Methods for Solar Flat-Plate Collector, Energy Convers. Mgmt Vol. 39, No. 3/4, pp. 285-293, 1998